

ИНЖЕНЕРНЫЙ МЕТОД РАСЧЕТА КПД ЗУБЧАТОЙ ПЕРЕДАЧИ ПРИВОДА ПТМ

В настоящее время при расчете подъемно-транспортных машин (ПТМ) учет потерь энергии в зубчатых передачах привода проводится на основании весьма приблизительных значений, рекомендованных в справочной литературе. Основным источником потерь для тихоходных передач являются потери на механическое трение в зубчатых парах и подшипниках. Однако современная тенденция снижения массы и габаритов деталей машин обуславливает рост окружных скоростей в зубчатых передачах до 150 м/с. При таких скоростях потери мощности в передачах существенно увеличиваются, причем на первый план выходят потери вследствие аэрогидродинамических сопротивлений вращению зубчатых колес. В связи с этим в последние годы значительно увеличился интерес к исследованиям источников потерь мощности и путей повышения коэффициента полезного действия (КПД) зубчатых передач. Ряд исследований [1], [2] показывают, что потери на аэрогидродинамическое сопротивление вращению зубчатых колес при больших окружных скоростях в зависимости от режима нагружения составляют 50 – 80 % общих потерь в зубчатой передаче. Большинство исследований в этой области носят эмпирический характер.

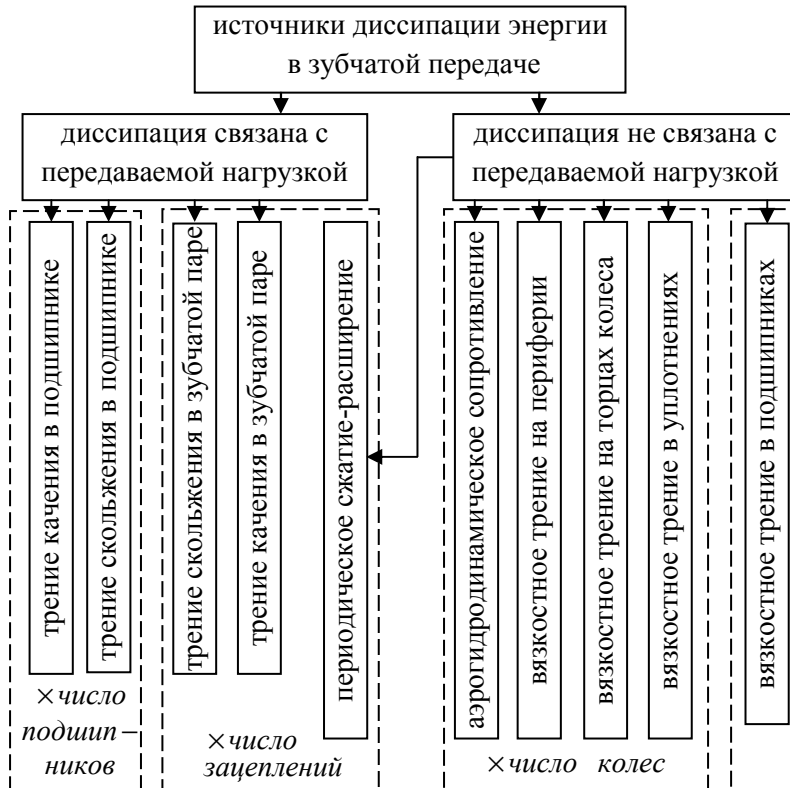
Целью настоящей статьи является разработка инженерного метода расчета КПД зубчатых передач ПТМ с учетом аэрогидродинамического сопротивления вращению зубчатых колес и компрессорных потерь в замкнутом между зубьями пространстве.

Потери мощности в зубчатых передачах могут быть условно разделены на две группы (рис.): а) зависящие от передаваемой нагрузки (трение скольжения и качения контактирующих поверхностей зубчатой пары и подшипников); б) независящие от передаваемой нагрузки (аэрогидродинамическое сопротивление вращению зубчатых колес, элементов подшипников и уплотнений, потери вследствие периодического сжатия и расширения масловоздушной смеси в замкнутом между зубьями пространстве).

Предложен метод анализа потерь мощности и расчета КПД зубчатой передачи, состоящий из нескольких этапов.

Первый этап сводится к определению кинематических, силовых и энергетических параметров каждого зубчатого колеса или зубчатой пары. На этом этапе: а) определяется режим эксплуатации зубчатой передачи; б) рассчитываются нагрузки, которые передаются каждой зубчатой парой; в) угловая скорость вращения каждого зубчатого

колес; г) рассчитываются силы, которые действуют на каждый подшипник (включая предварительную нагрузку); д) определяется уровень масла для каждого зубчатого колеса.



Источники диссипации энергии в зубчатых передачах

Второй этап включает расчет потерь мощности: в каждом колесе, зубчатой паре и подшипнике.

На третьем этапе суммируются потери мощности в зубчатой передаче и подшипниках:

$$P_{\Sigma} = \sum_{\Gamma}^i P_{A\Gamma} + \sum_{\Gamma}^j (P_{cp} + P_f + P_k) + \sum_{I=1}^s \sum_{b=1}^r P_b \quad (1)$$

где i - количество зубчатых колес в передаче; j - количество зацеплений в передаче; s - количество валов в передаче; r - количество подшипников на каждом валу передачи; $P_{A\Gamma} = \sum (P_{\Gamma} + P_A)$ - потери мощности в результате аэрогидродинамического сопротивления, Вт; P_{cp} - потери мощности в результате периодического сжатия и расширения масловоздушной смеси в замкнутом между зубьями пространстве; P_f , P_k - потери

мощности в результате трения скольжения и качения соответственно, Вт; P_b - потери мощности в результате аэрогидродинамического сопротивления и трения в подшипниках, Вт.

На заключительном этапе рассчитывается общий КПД:

$$\eta = (P_{ex} - P_\Sigma) / P_{ex} = (T_{ex} - T_\Sigma) / T_{ex}, \quad (2)$$

где P_{ex} , T_{ex} - мощность, крутящий момент на входе в зубчатую передачу соответственно, Вт, Нм.

Потери мощности в формуле (1) предлагается определять на основе теоретических и экспериментальных исследований проведенных авторами [3], [4], [5], [6], [7], [8], [9], [10].

Гидродинамические потери мощности вследствие погружения зубьев колеса в масляную ванну

$$P_\Gamma = 0,5 \cdot \rho_m \cdot \omega_i^3 \cdot r_i^5 \cdot (C_{k_i}^\Gamma + C_{T_i}^p + C_{P_i}), \quad (3)$$

где $C_{k_i}^\Gamma = 2 \cdot (A_i^2 - B_i^2) \cdot \sum_{i=1}^2 y_i \cdot \bar{V}_3 \cdot \arccos^2(1 - \bar{h}_i) \cdot \sin \alpha \cdot \cos^2 \beta$ -

безразмерный момент сил Кориолиса при погружении нулевого зубчатого колеса в масляную ванну; $A_i = r_{ai}/r_i$ - относительный радиус окружности вершин зубчатого колеса; $\bar{b}_i = b_i/r_i$ - относительная ширина зубчатого венца; $B_i = r_{fi}/r_i$ - относительный радиус окружности впадин зубчатого колеса;

$\bar{V}_3 = k_s \sqrt{(A_i^2 - B_i^2) + \frac{2}{Fr}(\bar{h}_i - A_i - B_i) + \frac{2\Phi_i}{\sqrt{Re}} + (k_o \sin \alpha \cos \beta)^2}$ -

относительная скорость заполнения маслом впадин через торцевое сечение; $\Phi_i = (\sin \alpha \cdot \cos \beta / \varphi_i)^{1,5} (\tg^2 \alpha_a - \tg^2 \alpha_f) \cdot \cos \alpha / (A_i \sqrt{3})$ - коэффициент, зависящий от геометрических параметров зубчатого колеса; $Re = \omega \cdot r_a^2 / \vartheta$ - число Рейнольдса; $Fr = \omega^2 \cdot r_a / g$ - число

Фруда; $\sum_{i=1}^2 y_i = 4 \cdot B_i \cdot \delta_i / (A_i^2 - B_i^2)$ - коэффициент торцевого зазора;

$C_{T_i}^p$ - безразмерный момент сопротивления сил вязкости на торцах зубчатого колеса: для ламинарного режима течения

$$C_{T_i}^{lam} = (A^{1,5} / \bar{b}) \left[\sqrt{\bar{h}_i(2 - \bar{h}_i)(1 - \bar{h}_i)} \right] / \left[\sqrt{6 \sqrt{\bar{h}_i(2 - \bar{h}_i)} \sqrt{Re}} \right], \quad \text{для}$$

турбулентного $C_{T_i}^{musp} = \frac{0,025}{\bar{b}_i} \cdot \frac{\arccos(1 - \bar{h}_i) - \sqrt{\bar{h}_i(2 - \bar{h}_i)(1 - \bar{h}_i)}}{[\bar{h}_i(2 - \bar{h}_i)]^{0,07} Re^{0,14}}$;

$C_{p_i}^\Gamma = 4 \cdot \bar{b}_i \cdot A^2 \cdot \arccos(1 - \bar{h}_i) / Re$ - безразмерный момент сил

вязкости на периферийных поверхностях головок зубчатого колеса; $\delta_i = \delta_i / r_i$ - относительный торцевой зазор; $\bar{h}_i = h_i / r_{ai}$ - относительная глубина погружения зубчатого колеса в масляную ванну.

Аэродинамические потери мощности

$$P_{A_i} = \rho \cdot \omega_i^3 \cdot r_i^5 \cdot (C_{k_i} + C_{M_i} + C_{R_i}), \quad (4)$$

$C_{k_i} = \bar{b}_i \cdot (A_i^2 - B_i^2) \cdot \bar{\rho}_{a_i} \cdot \cos^2 \beta \cdot \sin 2 \cdot \alpha / 2$ - безразмерный момент

сил Кориолиса; $\bar{\rho}_a = [1 - 0.5 \cdot (f \cdot \bar{b} \cdot M_{okp})^2 \cdot (k - I)]^{1/(k-1)}$ -

относительная плотность масловоздушной смеси во впадинах зубчатого колеса при его вращении; $\rho = x_b \cdot \rho + (1 - x_m) \cdot \rho_m$ -

плотность масловоздушной смеси, кг/м³; $a_R^{myp} = 0,146$; $b_R^{lam} = 0,5$;

$$C_{M_i} = \frac{a_R^{lam}}{(5 - 2b_R^{lam}) Re_{kp}^{b_R^{lam}}} \left(\frac{r_{kp}}{r} \right)^5 + \frac{a_R^{myp}}{(5 - 2b_R^{myp}) Re} \left[\frac{1}{Re^{b_R^{myp}}} - \frac{1}{Re_{kp}^{b_R^{myp}}} \left(\frac{r_{kp}}{r} \right)^5 \right]$$

- безразмерный момент сопротивления сил вязкости на торцах зубчатого колеса; $b_R^{myp} = 0,2$; $a_R^{lam} = 0,578 \cdot \pi \cdot \cos^4 \alpha (A_i^4 - C_i^4)$;

$r_{kp} = \sqrt{\mu \cdot Re_{kp} / (\rho \cdot \omega_i)}$ - критическое значение радиуса зубчатого колеса, которое разделяет зоны ламинарного и турбулентного течения;

$f = 4 \cdot A_i / \left[(A_i^2 - B_i^2) \cdot k_s \cdot \sum_{i=1}^2 y_i \right]$ - коэффициент, учитывающий

влияние торцевых зазоров; $Re_{kp} = 3 \cdot 10^5$ - критическое значение числа Рейнольдса при смене режимов течения;

$$C_{R_i} = \gamma_i A_i^2 \bar{b}_i \left[1 / (Re \bar{S}_R) + \bar{S}_R \left(1 + 0,5(k - I) \cdot M_{okp}^2 \right)^{k/(k-1)} / (2\varphi_a k M_{okp}^2) \right] -$$

безразмерный момент вязкостного трения периферийной поверхности головок зубьев в радиальном зазоре; $M_{okp} = V_{okp} / c$ - относительная

окружная скорость зубчатого колеса; $c = \sqrt{k \cdot p_a / \rho}$ - скорость звука

при нормальных условиях, м/с; $V_{okp} = \omega_i \cdot r_i$ - окружная скорость

зубчатого колеса, м/с; $\bar{S}_{R_i} = S_{R_i} / r_{a_i}$ - относительная ширина

радиального зазора между вращающимся колесом и неподвижным картером зубчатой передачи.

Потери мощности вследствие периодического сжатия и расширения масловоздушной смеси в замкнутом между зубьями пространстве

$$P_{cp} = \omega_l \cdot k \cdot A \cdot (I+u)/(8 \cdot u) \cdot \bar{b}^3 \cdot r_l^3 \cdot M_{okp}^2 \cdot p_a \cdot \cos^2 \alpha, \quad (5)$$

где

$A = \left\{ I/(2\chi_2 - 1) \left[I - 0.5(k-1)(\bar{b}_l M_{okp}/(2\chi_2 - 1)\tau_l)^2 \right] + I/(2\chi_1 - 1) \right\};$
 $\chi_1 = (\operatorname{tg} \alpha_{a1} - \operatorname{tg} \alpha_w)/\tau_l, \quad \chi_2 = (\operatorname{tg} \alpha_{a2} - \operatorname{tg} \alpha_w)/\tau_2$ - коэффициенты перекрытия по головкам и ножкам зубьев соответственно.

Потери мощности вследствие трения скольжения в зубчатой паре

$$P_f = P_{ex} \frac{\left(\frac{(I+u)}{u} \right)^{0.75} \tau_l^{0.75} [\chi_1^{1.75} + \chi_2^{1.75}] + [(I-\chi_1)^{1.75} + (I-\chi_2)^{1.75}]}{21.55 \cdot v^{0.25} \cdot V_{okp}^{0.5} \cdot \left[2 \cdot \operatorname{tg} \alpha_w + \tau_l \cdot (\chi_1^2 + \chi_2^2) \cdot \frac{u-1}{2 \cdot u} \right]^{0.25}}$$

Потери мощности вследствие трения качения в зубчатой паре

$$P_k = 3 \cdot P_{ex} \cdot \frac{[\sigma_H]}{E_{np}^*} \sqrt{\frac{\varepsilon \cdot \cos \alpha}{\pi \cdot u \cdot K_H \cdot \cos \beta}} \frac{(u+1)^2 \cdot \operatorname{tg}^2 \alpha_w \cdot H}{4 \tau_l}, \quad (6)$$

где $\varepsilon = \chi_1 + \chi_2$ - коэффициент перекрытия зубчатой передачи;
 $E_{np}^* = 2 \cdot E_1 \cdot E_2 / [E_1(I-V_2^2) + E_2(I-V_1^2)]$ - приведенный модуль упругости, МПа.

Потери мощности вследствие аэрогидродинамического сопротивления в подшипниках зубчатой передачи

$$P_b = (T_{nagp} + T_{вязк}) \cdot \omega_b, \quad (6)$$

где $T_{вязк} = \begin{cases} 10^{-7} \cdot f_0 \cdot (V_m \cdot n)^{2/3} \cdot d_b^3 & V_m \cdot n_b \geq 2000 \\ 160 \cdot 10^{-7} \cdot f_0 \cdot d_b^3 & V_m \cdot n_b \leq 2000 \end{cases}$ - момент сопротивления вращению вала зубчатых колес вследствие действия сил вязкостного трения в подшипниках зубчатой передачи, Нм; f_0 - корректирующий коэффициент, зависящий от типа конструкции подшипника и типа его смазки [11]; $T_{nagp} = f_1 \cdot F_\beta \cdot d_b$ - момент сил трения, зависящий от передаваемой нагрузки и учитывающий силы трения качения и скольжения в телах качения подшипника, Нм; f_1 - комплексный фактор, зависящий от конструкции подшипника и относительной нагрузки на подшипник [11]; F_β - результирующая сила, приложенная к подшипнику, Н.

ВЫВОДЫ

- Предложен аналитический метод, позволяющий с минимальными затратами вычислительных усилий определять коэффициент полезного действия зубчатой передачи привода ПТМ.
- Разработанный метод позволяет проводить комплексный анализ источников диссипации энергии, поиск рациональных конструктивных решений и выбор оптимальных условий эксплуатации цилиндрических зубчатых передач с точки зрения их максимальной эффективности на этапах проектирования новых и усовершенствования существующих передач.

СПИСОК УСЛОВНЫХ ОБОЗНАЧЕНИЙ

ω_i - угловая скорость колеса;	минимального радиального зазора, рад;
r_i - радиус делительной окружности колеса, м;	φ_a - угловая толщина зуба по окружности вершин зубчатого колеса, рад;
α - угол станочного зацепления;	α_{ai} - угол профиля эвольвенты на окружности вершин колес;
b_i - ширина зубчатого венца, м;	α_w - угол эксплуатационного зацепления, рад;
r_{fi} - радиус окружности впадин;	τ_i - угловые шаги шестерни и колеса рад;
r_{a_i} - радиус окружности вершин;	i - передаточное отношение;
β - угол наклона линии зубьев колеса, град;	K_H - коэффициент нагрузки;
ϑ_m - кинематическая вязкость масла, сСт;	$[\sigma_H]$ - допускаемые контактные напряжения, МПа;
g - ускорение свободного падения, м/с ² ;	E_i - модуль упругости колес;
δ_i - торцевой зазор, м;	V_i - коэффициент Пуассона;
ρ - плотность воздуха при нормальных условиях умов, кг/м ³ ;	ω_b - угловая скорость вала в подшипнике, рад/с;
ρ_m - плотность масла при температуре эксплуатации зубчатой передачи, кг/м ³ ;	d_b - диаметр вала в подшипнике;
x_b , x_m - относительные части воздуха и масла в масловоздушной смеси;	n_b - число оборотов вала в подшипнике, об/мин;
k - показатель адиабаты масловоздушной смеси;	k_s , k_o - скоростные коэффициенты торцевых и радиальных сечений впадины;
γ_i - угол, стягивающий дугу	

ЛИТЕРАТУРА

1. Heingartner P. Determination Power Losses in the Helical Gear Mesh / P. Heingartner, D. Mba // Gear Technology. — 2005. — P. 32-37.
2. Handschuh R. F. Preliminary Comparison of Experimental and Analytical Efficiency Results of High-Speed Helical Gear Trains / R.F. Handschuh, C. J. Kilmain // DETC'03, ASME, Design Engineering Technical Conferences and Computers and Information in Engineering Conference. — 2003. — Vol. 4B. — P. 949-955.
3. Ставицкий В.В. Исследование аэродинамических потерь энергии в высокоскоростных прямозубых цилиндрических передачах. / В.В. Ставицкий, П.Л. Носко. // Вестник НТУ «ХПИ» - Харьков: ХПИ. — 2010. — №27. — С. 167-173.
4. Ставицкий В.В. Оценка потерь мощности в высокоскоростных цилиндрических передачах / В. В. Ставицкий, П. Л. Носко // Вестник НТУ «ХПИ» — Харьков: ХПИ, 2011. — №28. — с. 137 — 149.
5. Stavitsky V. V. Determination du rendement de la transmission cylindrique dentee developante / V. V. Stavitsky, P. L. Nosko, O. Benissa // Вісник нац. у-ту ім. В. Даля. — 2007. - №9 (115). — с. 188 - 191.
6. Ставицький В. В. Аналіз аерогидродинаміческих потерь в зубчатых передачах/ В.В. Ставицький, П.Л. Носко, П.В. Філь // Вісник нац. у-ту ім. В. Даля. — 2009. - №12 (142). — с. 125-131.
7. Ставицький В. В. Аналіз составляющих потерь мощности вследствие аэродинамического сопротивления вращению зубчатых колес/ В. В. Ставицкий, П. Л. Носко, С.И. Лиходеев // Вестник НТУ «ХПИ» - Харьков: ХПИ. - 2011. - №41. – с. 297-302.
8. Stavytskyy V. V. A model for the prediction of windage losses in geared transmissions – preliminary resultants / V. V. Stavitsky, P. L. Nosko // TEKA Commission of Motorization and Power Industry in Agriculture Poland, Lublin, Polish Academy of Sciences Branch in Lublin. - 2010. - V. XC. - p. 316-323.
9. Stavytskyy V. V. Power losses by the air-pumping phenomena in high-speed spur gears / V. V. Stavitsky, P. L. Nosko // TEKA Commission of Motorization and Power Industry in Agriculture Poland, Lublin, Polish Academy of Sciences Branch in Lublin. - 2010. - V. XC. - p. 324-331. Poland, Lublin, Polish Academy of Sciences Branch in Lublin.
10. Ставицкий В.В. Оценка потерь мощности в высокоскоростных цилиндрических передачах / В. В. Ставицкий, П. Л. Носко // Вестник НТУ «ХПИ» - Харьков: ХПИ, 2011. - №28. – с. 137-149.
11. Harris T. A. Rolling Bearing Analysis / T. A. Harris - 4th ed. - NY: John Wiley & Sons, 2001.